

07

## Размерные поверхностные эффекты при пластической деформации микро- и нанокристаллов

© Г.А. Малыгин

Физико-технический институт им. А.Ф. Иоффе РАН,  
Санкт-Петербург, Россия

E-mail: malygin.ga@mail.ioffe.ru

(Поступила в Редакцию 18 января 2012 г.)

На основе кинетического уравнения для плотности дислокаций, сосредоточенных в критических длинах однополюсных дислокационных источников, теоретически рассмотрены размерные эффекты, связанные с поверхностью как эффективным стоком для движущихся дислокаций в тонкоразмерном кристалле и барьером для них при наличии на поверхности прочной пленки или специального упрочненного слоя, способствующих аккумуляции дислокаций в кристалле. Теоретические результаты иллюстрируются имеющимися в литературе экспериментальными данными для микро- и нанокристаллов Cu и Al. Найдено в соответствии с этими данными, что при свободной для выхода дислокаций поверхности кристалла зависимость его предела текучести  $\sigma_{2\%}$  от поперечного размера кристалла  $D$  имеет вид  $\sigma_{2\%} \sim D^{-0.75}$ , а при наличии на боковой поверхности прочного слоя —  $\sigma_{2\%} \sim D^{-0.5}$ .

### 1. Введение

Экспериментально установлено, что различного рода дефекты на поверхности и в приповерхностных слоях микро- и наноразмерных (МР) и наноразмерных (НР) кристаллов, являющиеся источниками дислокаций, определяют прочность  $\sigma$  (сопротивление пластической деформации) этих кристаллов [1–3]. На порядок более высокая их прочность по сравнению с крупноразмерными кристаллами обусловлена зависимостью активационных длин однополюсных дислокационных источников в них от поперечного размера кристалла  $D$  [4]. Это обстоятельство объясняет известный результат: чем тоньше кристалл, тем он прочнее,  $\sigma \sim D^{-n}$ , где  $n = 0.6–1.0$  [1–3, 5, 6]. По своему сопротивлению пластической деформации МР и НР кристаллы занимают промежуточное положение между прочностью крупноразмерных ( $D > 10 \mu\text{m}$ ) кристаллов и теоретической (идеальной) прочностью кристаллов при их однородном сдвиге по плотноупакованным плоскостям скольжения  $\mu/20–\mu/10$  [7], где  $\mu$  — модуль сдвига. В отсутствие в микро- и нанокристаллах дефектов, служащих источниками дислокации, их прочность на сдвиг практически равна их теоретической прочности [8–10].

Под размерными поверхностными эффектами, кроме тех, что связаны с поверхностью как основным источником дислокаций в МР и НР кристаллах, подразумеваются также эффекты, связанные с поверхностью как стоком и барьером для движущихся дислокаций [11, 12]. Так, в [11] при растяжении микрокристаллов Cu с размером поперечного сечения  $D$  от 0.5 до 8  $\mu\text{m}$  найдено, что напряжение течения  $\sigma$  в них сильно возрастает с уменьшением отношения рабочей длины кристалла  $L$  к размеру его поперечного сечения  $D$  (т.н. aspect ratio  $R = L/D$  [11]). Основная причина возникновения этого размерного эффекта состоит в том, что со снижени-

ем  $R$  относительная доля торцевых частей поверхности кристалла, примыкающая к головкам образца и являющаяся барьером для выхода дислокаций из микрокристалла [11], возрастает относительно доли боковой поверхности, свободной для выхода дислокаций из него (см. схему на рис. 1). Это способствует накоплению (аккумуляции) дислокаций в кристалле и его дополнительному деформационному упрочнению.

Накоплению (store) дислокаций способствует также наличие на поверхности кристалла прочной пленки. В [12] при сжатии кристаллов Al в виде микростолбиков (micropillars) диаметром от 1.2 до 6  $\mu\text{m}$  с постоянным отношением высоты столбиков к их диаметру  $L/D = 2$  найдено, что нанесение на боковую поверхность кристаллов слоя атомов вольфрама толщиной от 0.1 до 0.6  $\mu\text{m}$  приводит к росту предела текучести микрокристаллов в 3–4 раза. Плотность дислокаций при этом увеличивается на два–три порядка по сравнению с кристаллами в отсутствие вольфрамового слоя.

Целью настоящей работы является анализ в рамках дислокационно-кинетического подхода указанных выше размерных эффектов в микро- и нанокристаллах с поперечными размерами  $D < 10 \mu\text{m}$ . Ранее эффект прочной поверхностной пленки рассматривался с дислокационно-кинетических позиций в относительно массивных кристаллах с поперечными размерами  $D > 100 \mu\text{m}$  [13].

### 2. Основные соотношения и результаты анализа

2.1. Влияние отношения длины кристалла к его поперечному размеру. В крупноразмерных кристаллах это отношение играет существенную роль, главным образом, в опытах по сжатию кристаллов, поскольку при  $L \gg D$  кристалл теряет устойчивость, а при

$L \ll D$  трение на торцах приводит к бочкообразности деформированного образца, что затрудняет расчет в нем напряжений течения. Что касается кристаллов с поперечными размерами в микро- и нанодиапазоне, то, как показывают результаты [11], величина отношения  $L/D$  играет важную роль, также и при растяжении кристалла, поскольку от этого отношения зависит баланс между скоростью генерации дислокаций и скоростью их ухода из тонкоразмерного кристалла.

Этот баланс определяется кинетическим уравнением для средней плотности дислокаций  $\rho$ , зависящей от плотности однополосных дислокационных источников  $n_S$  и их активационных длин  $L_S$  в тонкоразмерном кристалле [3,14–16]. При нагружении такого кристалла с постоянной скоростью деформации  $\dot{\epsilon} = m_{Sm}\dot{\gamma}$  ( $m_{Sm}$  — фактор Шмида (Schmid),  $\dot{\gamma}$  — скорость сдвиговой деформации) это уравнение в отсутствие ограничений для выхода дислокаций из кристалла имеет вид [3]

$$\rho \frac{d\rho}{d\gamma} = \frac{n_S}{bL_S} - \frac{1}{bL_e} \rho, \quad (1a)$$

или

$$\rho \frac{d\rho}{d\gamma} = \frac{\eta_S}{bD^3} - \frac{m_e}{bD} \rho, \quad (1b)$$

где  $\gamma$  — деформация сдвига,  $\eta_S = 2/\delta_S^3$ ,  $\delta_S < 1$  — коэффициент, определяющий связь длины  $L_S = \delta_S D$  и плотности  $n_S = 2/L_S^2$  однополосных дислокационных источников с поперечным размером кристалла,  $m_e = \cos \varphi$  — коэффициент, определяющий длину пробега дислокаций по плоскости скопления до выхода (escape) их из кристалла  $L_e = D/m_e$ ,  $\varphi$  — угол между осью нагружения и нормалью к плоскости скольжения дислокаций.

В [11] примыкающая к головкам образца торцевая часть  $\Delta S = 2D^2$  полной поверхности  $S = 4DL + 2D^2$  микрокристалла меди квадратного сечения служила барьером для выхода из него дислокаций (рис. 1). В результате относительная доля покидающих кристалл дислокаций  $\beta_e = 1 - \Delta S/S$  оказывается зависящей от отношения длины кристалла к его поперечному сечению  $R = L/D$

$$\beta_e = \frac{2DL}{D^2 + 2DL} = \frac{2R}{1 + 2R}. \quad (2)$$

Из (2) видно, что при  $L \gg D$  коэффициент  $\beta_e$  стремится к единице, а в сверхкоротком ( $L \ll D$ ) кристалле — к нулю. С учетом этого обстоятельства уравнение (1b) принимает вид

$$\rho \frac{d\rho}{d\gamma} = \frac{\eta_S}{bD^3} - \frac{\beta_e m_e}{bD} \rho. \quad (3a)$$

Правую сторону уравнения (3a) можно записать также в виде

$$\rho \frac{d\rho}{d\gamma} = \frac{\beta_e m_e}{bD} (\rho_D - \rho), \quad \rho_D = \left( \frac{\eta_S}{\beta_e m_e} \right) \frac{1}{D^2}, \quad (3b)$$

где  $\rho_D$  — плотность дислокаций, при которой наступает равновесие ( $d\rho/d\gamma = 0$ ) между скоростью эмиссии

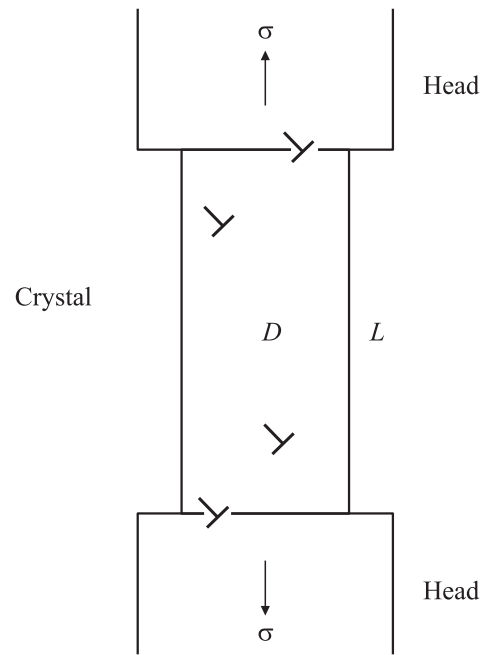


Рис. 1. Схема растяжения кристаллов с разным соотношением длины кристалла  $L$  и его поперечного размера  $D$ .

дислокаций источниками и выходом их из кристалла. Плотность  $\rho_D$  зависит не только от поперечного размера кристалла  $D$ , но согласно (2) также и от отношения его рабочей длины к этому размеру  $R = L/D$ . Интегрируя уравнение (3b), получаем в неявной форме зависимость плотности дислокаций от деформации сдвига

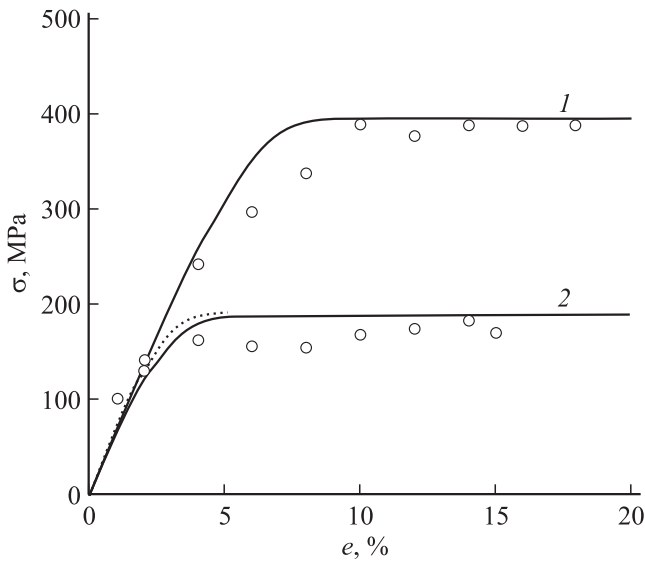
$$\gamma = -\gamma_D \left( \frac{\rho}{\rho_D} + \ln \left( 1 - \frac{\rho}{\rho_D} \right) \right), \quad \gamma_D = \frac{\eta_S}{(\beta_e m_e)^2} \frac{b}{D}. \quad (4)$$

Эмиссия дислокаций источниками из-за действия нескольких пересекающихся плоскостей скольжения и поперечного скольжения (cross-slip) винтовых участков дислокационных петель [17–19] увеличивает плотность дислокаций, сосредоточенных в однополосных источниках, и уменьшает их критические длины  $l_p = \rho^{-1/2}$ . Результатом этого является рост критического напряжения генерации источниками дислокаций,

$$\tau = (\mu b / 2\pi l_p) \ln(l_p / b) = \alpha \mu b \rho^{1/2}, \quad (5)$$

где  $\alpha = (\ln(l_p / b)) / 2\pi \approx 0.5 - 1.5$ . Это означает, что в процессе пластической деформации дислокационные источники испытывают деформационное упрочнение (dislocation source strain-hardening), которое действительно имеет место на начальной стадии пластической деформации микро- и нанокристаллов [20,21]. При одноосном растяжении (сжатии) кристалла зависимость напряжения течения  $\sigma = m_{Sm}^{-1} \tau$  от деформации  $\epsilon = m_{Sm} \gamma$  с учетом уравнения (5) принимает вид тейлоровского закона деформационного (дислокационного) упрочнения

$$\sigma(\epsilon, D, R) = m_{Sm}^{-1} \alpha \mu b \rho^{1/2}(\epsilon, D, R). \quad (6)$$



**Рис. 2.** Кривые растяжения микрокристаллов Cu квадратного сечения со стороной  $D = 0.5 \mu\text{m}$  и длиной  $L = 0.5$  (1) и  $2.5 \mu\text{m}$  (2) согласно уравнению (8). Экспериментальные точки — данные [11].

Принимая далее во внимание, что согласно (6)  $\rho \sim \sigma^2$ , уравнение (4) можно представить в виде неявной зависимости напряжения течения  $\sigma$  от деформации  $\varepsilon$

$$\varepsilon = -\varepsilon_D \left[ \frac{\sigma^2}{\sigma_D^2} + \ln \left( 1 - \frac{\sigma}{\sigma_D} \right) \right], \quad (7a)$$

где

$$\sigma_D(D, R) = m_{Sm}^{-1} \alpha_D \mu b \rho_D^{1/2} = m_{Sm}^{-1} \alpha_D \mu \left( \frac{b}{\delta_d D} \right), \quad (7b)$$

$$\varepsilon_D(D, R) = m_{Sm} \gamma_D = \frac{m_{Sm} \eta_S}{(\beta_e(R) m_e)^2} \left( \frac{b}{D} \right), \quad (7c)$$

$$\alpha_D(D, R) = \frac{1}{2\pi} \ln \left( \frac{\delta_D D}{b} \right), \quad \delta_D = \left( \frac{\beta_e(R) m_e}{\eta_S} \right)^{1/2}. \quad (7d)$$

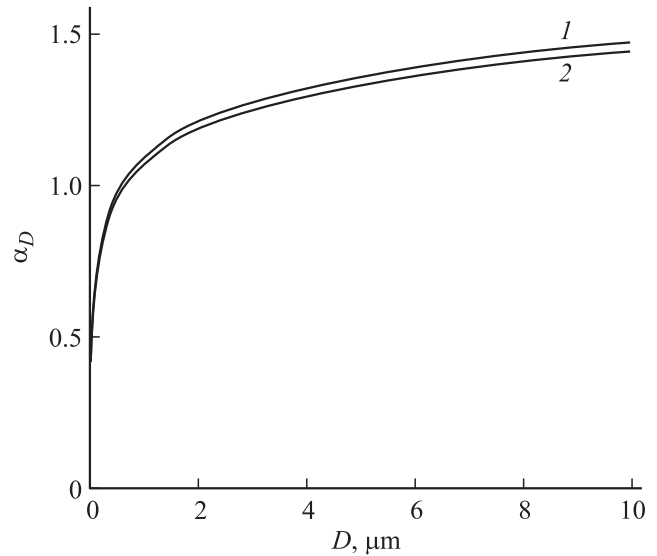
В (7a) первое слагаемое в квадратной скобке играет роль лишь при напряжениях  $\sigma \ll \sigma_D$ . Пренебрегая им, получаем явный вид зависимости напряжения от деформации  $\varepsilon$

$$\sigma(\varepsilon) \approx \sigma_D \left[ 1 - \exp \left( -\frac{\varepsilon}{\varepsilon_D} \right) \right]^{1/2}. \quad (8)$$

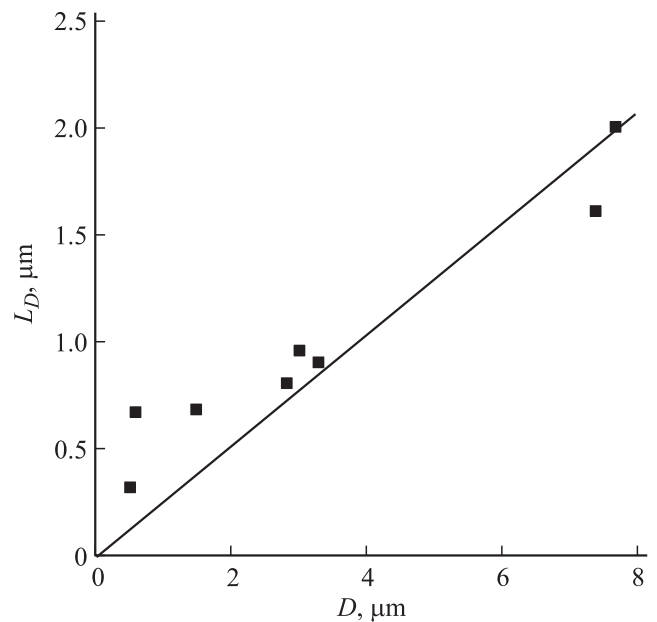
На рис. 2 кривые 1 и 2 показывают эту зависимость для двух микрокристаллов Cu с одинаковым поперечным сечением  $D = 0.5 \mu\text{m}$  и длиной  $L = 0.5$  и  $2.5 \mu\text{m}$ . При указанных размерах кристалла соответственно имеем:  $R = 1$  и  $5$ ,  $\beta_e \approx 0.67$  и  $0.91$ . По оси абсцисс отложена полная  $e = \varepsilon + \sigma/K$  (упругая плюс пластическая) деформация растяжения, где  $K = 7 \text{ GPa}$  — упругий модуль системы кристалл–нагружающее устройство. Пунктир в начальной части кривой 2 — расчет согласно полному уравнению (7a). Экспериментальные точки —

данные [11]. При расчете кривых на рис. 2 и коэффициентов  $\alpha_D$  (рис. 3) использовалось значение параметра  $\eta_S$ , равное 9.6, и коэффициента  $\delta_D = 0.26$  (см. ниже).

На рис. 4 приведены данные [11] по зависимости критических длин  $l_p \equiv L_D$  однополосных дислокационных источников в микрокристаллах меди от поперечного размера кристалла при постоянном значении  $R = 5$  и деформации  $\varepsilon = 10\%$ , соответствующей плато



**Рис. 3.** Зависимость коэффициента  $\alpha_D$  от размера поперечного сечения кристалла  $D$  согласно (7b) и (7d) при соотношениях длины кристалла к его поперечному размеру  $L/D = 1$  (1) и 5 (2).



**Рис. 4.** Зависимость критической длины  $L_D$  однополосного источника в микрокристалле Cu от поперечного размера кристалла  $D$  при деформации  $\varepsilon = 10\%$  [11].

на кривых  $\sigma(\epsilon)$  на рис. 2. Расчет длин источников осуществлялся в [11] согласно соотношениям (5) и (6) при факторе Шмида  $m_{Sm} = 0.42$ ,  $\mu = 47$  GPa,  $\delta_D = 1$  и  $b = 0.256$  nm. Плато на кривых 1 и 2 соответствует равновесная плотность дислокаций  $\rho_D$  и согласно соотношению (3b) — критическая длина дислокационных источников

$$L_D = \rho_D^{-1/2} = \delta_D D. \quad (9)$$

Прямая на рис. 4 демонстрирует зависимость длины  $L_D$  от  $D$  при коэффициенте  $\delta_D = (\beta_e m_e / \eta_S)^{1/2} = 0.26$ . При  $\beta_e = 0.91$  и  $m_e = \cos 45^\circ \approx 0.71$  и найденном значении коэффициента  $\delta_D$  получаем оценку параметра  $\eta_S \approx 9.6$  и, следовательно, согласно приведенному выше соотношению  $\eta_S = 2/\delta_S^3$  — оценку параметра  $\delta_S = 0.59$ . Из этих оценок следует, что в процессе деформации микрокристалла начальная критическая длина однополюсных источников  $L_S = 0.59D$  уменьшилась до длины  $L_D = 0.26D$ , а плотность дислокаций, сосредоточенных в источниках, увеличилась примерно в 5 раз и в кристалле с  $D = 1 \mu\text{m}$  составляет  $\approx 1.5 \cdot 10^{13} \text{ m}^{-2}$ .

2.2. Влияние прочного слоя на поверхности МР кристаллов на их напряжение течения. Ситуация в случае [12] противоположна рассмотренной в предыдущем разделе. Наличие на боковой поверхности деформируемых сжатием микрокристаллов Al диаметром от  $D = 1.2$  до  $6 \mu\text{m}$  прочного слоя из атомов вольфрама препятствует выходу дислокаций из него, что должно способствовать значительной аккумуляции дислокаций в кристалле. Свободными для выхода дислокаций остаются торцевые поверхности площадью  $\Delta S_e = \pi D^2/2$ , в то время как заблокированной для выхода дислокаций из кристалла является боковая поверхность площадью  $\Delta S_s = \pi DL$ . Относительные доли полной поверхности кристалла  $S = \pi D^2/2 + \pi DL$ , свободной и заблокированной для выхода дислокаций, соответственно равны

$$\beta_e = \frac{\Delta S_e}{S} = \frac{1}{1 + 2R}, \quad \beta_s = \frac{\Delta S_s}{S} = \frac{2R}{1 + 2R}. \quad (10)$$

Поскольку в экспериментах [12] величина  $R = L/D$  была постоянной, равной 2, то относительные доли (10) равнялись соответственно  $\beta_e = 0.2$  и  $\beta_s = 0.8$ , то есть значительная доля генерируемых источниками дислокаций должна оставаться в кристалле.

С учетом (10) уравнение баланса дислокаций (3a) приобретает вид

$$\rho \frac{d\rho}{d\gamma} = \frac{\eta_S}{bD^3} + \frac{\beta_s - m_e \beta_e}{bD} \rho. \quad (11)$$

Очевидно, что в рассматриваемом случае суммарный коэффициент  $\beta_* = \beta_s - m_e \beta_e$  положителен, и решение уравнения (11) в неявной форме имеет вид

$$\gamma = \gamma_* \left( \frac{\rho}{\rho_*} - \ln \left( 1 + \frac{\rho}{\rho_*} \right) \right), \quad \rho_* = \frac{\eta_S}{\beta_* D^2}, \quad \gamma_* = \frac{\eta_S}{(\beta_*)^2} \frac{b}{D}. \quad (12)$$

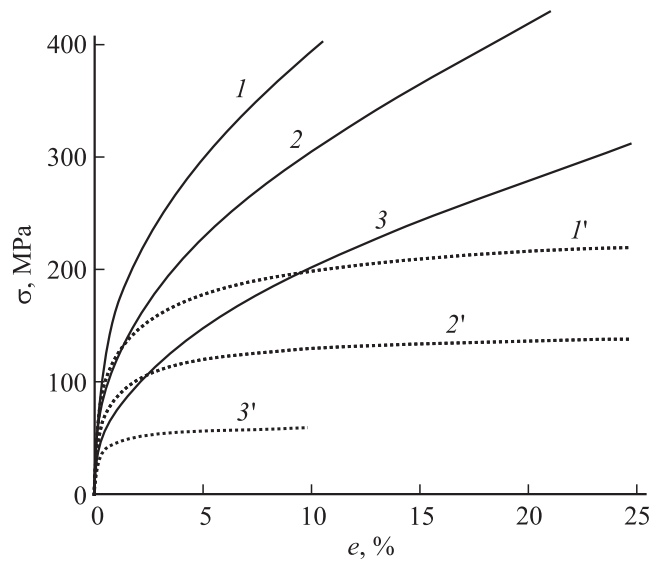


Рис. 5. Кривые деформационного упрочнения микрокристаллов Al с поперечным сечением 1.2 (кривые 1 и 1'), 2.2 (2 и 2') и 6.0  $\mu\text{m}$  (3 и 3') в отсутствие (кривые 1'–3') и при наличии (1–3) прочного слоя атомов W на их боковой поверхности. Расчет кривых — согласно уравнениям соответственно (3a) и (13a).

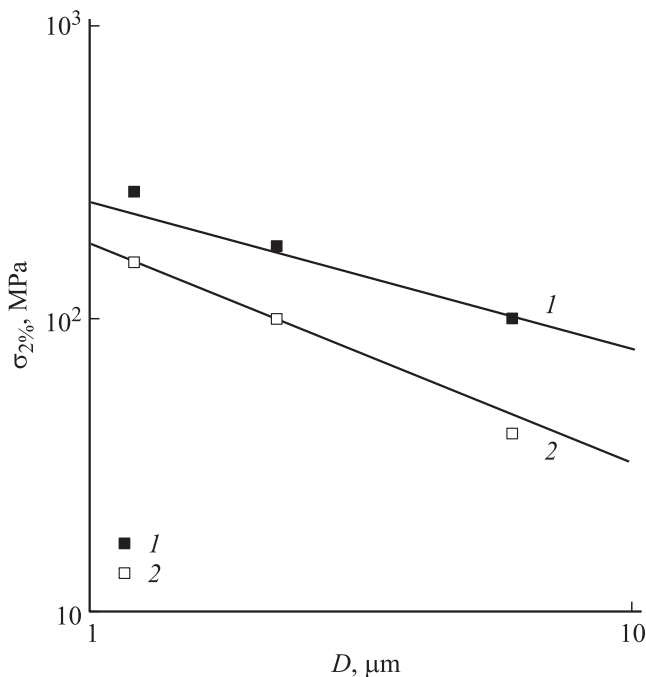
Соответственно для напряжений течения при одноосном сжатии получаем соотношения

$$\epsilon = \epsilon_* \left[ \frac{\sigma^2}{\sigma_*^2} - \ln \left( 1 + \frac{\sigma^2}{\sigma_*^2} \right) \right], \quad \epsilon_* = m_{Sm} \gamma_*, \quad (13a)$$

$$\sigma_*(D) = m_{Sm}^{-1} \alpha_* \mu b \rho_*^{1/2} = m_{Sm}^{-1} \alpha_* \mu \left( \frac{b}{\delta_* D} \right), \quad (13b)$$

$$\alpha_*(D) = \frac{1}{2\pi} \ln \left( \frac{\delta_* D}{b} \right), \quad \delta_* = \left( \frac{|\beta_*|}{\eta_S} \right)^{1/2}. \quad (13c)$$

На рис. 5 кривые 1, 2 и 3 показывают согласно соотношениям (13) зависимости напряжений течения от полной деформации  $e = \epsilon + \sigma/E$ , где  $E = 72$  GPa — модуль Юнга, для трех микрокристаллов Al с поперечными сечениями соответственно  $D = 1.2, 2.2$  и  $6 \mu\text{m}$ . При расчете кривых использовались следующие значения параметров:  $\beta_* = 0.8$ ,  $\eta_S = 120$ ,  $\mu = 27$  GPa,  $b = 0.28$  nm,  $m_{Sm} = 0.47$ . Кривые 1', 2' и 3' на этом рисунке демонстрируют зависимости напряжений течения от деформации для тех же микрокристаллов, но согласно соотношениям (7), то есть в отсутствие вольфрамового слоя на их боковой поверхности. Построение кривых производилось при тех же значениях параметров, что и при расчете кривых 1–3, но вместо параметра  $\beta_*$  в (7) использовались значения параметров  $\beta_e = 1$  и  $m_e = 0.3$ . Из приведенных на рис. 5 результатов видно, что вольфрамовый слой служит эффективным барьером для выхода дислокаций из микрокристалла и способствует резкому росту его коэффициента деформационного упрочнения и напряжений течения. В [12] особо



**Рис. 6.** Зависимость напряжения течения микрокристаллов Al от размера их поперечного сечения  $D$  при наличии (1) и в отсутствие (2) слоя атомов W на их боковой поверхности [12]. Прямые 1 и 2 — расчет согласно соотношениям (13а) и (3а).

отмечают, что сама толщина слоя W в исследованных пределах 0.1–0.6 нм не оказывает влияния на прочность микрокристаллов.

На рис. 6 показаны в двойных логарифмических координатах зависимости напряжений течения при степени деформации  $\varepsilon = 2\%$  в микрокристаллах Al от размера их поперечного сечения при наличии и отсутствии слоя атомов W на их боковой поверхности. Прямые 1 и 2 демонстрируют результаты расчета этих напряжений согласно соотношениям (13) и (7). Наклон прямых на рисунке соответствует зависимостям  $\sigma_{2\%} \sim D^{-0.5}$  и  $\sim D^{-0.7}$  соответственно при наличии и отсутствии вольфрамового слоя на их поверхности кристаллов.

На начальной стадии деформации микрокристаллов в правой стороне уравнения (3а) доминирует первое слагаемое. Ограничиваясь им, получаем после интегрирования усеченного уравнения следующую зависимость напряжений течения от  $D$  [3,14]

$$\sigma \approx K_S \mu \left( \frac{b}{D} \right)^{3/4} \sim D^{-0.75}, \quad (14)$$

где  $K_S = \alpha(2\eta_S \varepsilon / m_{Sm}^5)^{1/4}$  и  $\varepsilon = 2\%$ . Показатель степени 0.75 в этом соотношении близок к  $n = 0.7$  для наклона прямой 2 на рис. 6, демонстрирующей зависимость напряжения  $\sigma_{2\%}$  от  $D$  для микрокристаллов в отсутствие на их поверхности слоя атомов W. Наличие этого слоя должно вызывать доминирование второго слагаемого в правой стороне уравнения (13а). Действительно, опуская правое слагаемое, получаем после

интегрирования редуцированного уравнения следующую зависимость напряжений течения от  $D$

$$\sigma \approx K_* \mu \left( \frac{b}{D} \right)^{1/2} \sim D^{-0.5}, \quad (15)$$

где  $K_* = \alpha(\beta_* \varepsilon / m_{Sm}^3)^{1/2}$ . Эта зависимость имеет вид соотношения Холла–Петча, которое возникает всякий раз, когда имеет место ограничение для длины свободного пробега дислокаций. Приведенные на рис. 6 данные [12] это подтверждают.

Таким образом, оба рассмотренных выше размерных эффекта при пластической деформации микро- и нанокристаллов меди и алюминия могут быть поняты в рамках одного подхода, основанного на кинетическом уравнении для плотности дислокаций, сосредоточенных в кристалле, главным образом, в критических длинах однополюсных дислокационных источников.

## Список литературы

- [1] M.D. Uchic, P.A. Shade, D.M. Dimiduk. Annu. Rev. Mater. Res. **39**, 361 (2009).
- [2] J.R. Greer, J.T. De Hosson. Progr. Mater. Sci. **56**, 654 (2011).
- [3] Г.А. Малыгин. УФН **181**, 1129 (2011).
- [4] S.I. Rao, D.M. Dimiduk, M. Tang, M.D. Uchic, T.A. Parthasarathy, C. Woodward. Phil. Mag. **87**, 4777 (2007).
- [5] C.P. Frick, B.G. Clark, S. Orso, A.S. Schneider, E. Arzt. Mater. Sci. Eng. A **489**, 319 (2008).
- [6] D. Mordehai, S.-W. Lee, B. Backes, D. Srolovitz, W. Nix, E. Rabkin. Acta Mater. **59**, 5202 (2011).
- [7] S. Ogata, J. Li, N. Hirotsuki, Y. Shibotani, S. Yip. Phys. Rev. B **70**, 104104 (2004).
- [8] H. Bei, S. Shim, G.M. Pharr, E.P. George. Acta Mater. **56**, 4762 (2008).
- [9] G. Richter, K. Hillerich, D.S. Gianola, R. Mönig, O. Kraft, C.A. Volkert. NanoLett. **9**, 3048 (2009).
- [10] M.B. Lowry, D. Kiener, M.M. Le Blank, C. Chisholm, J.N. Florando, J.W. Morris, A.M. Minor. Acta Mater. **58**, 5160 (2010).
- [11] D. Kiener, W. Grosinger, G. Dehm, R. Rippan. Acta Mater. **56**, 580 (2008).
- [12] K.S. Ng, A.H.W. Ngan. Acta Mater. **57**, 4902 (2009).
- [13] Г.А. Малыгин. ФТТ **35**, 1698 (1993).
- [14] Г.А. Малыгин. ФТТ **52**, 48 (2010).
- [15] Г.А. Малыгин. ФТТ **54**, 523 (2012).
- [16] Г.А. Малыгин. ФТТ **54**, 1148 (2012).
- [17] C. Zhou, S. Biner, R. LeSar. Scripta Mater. **63**, 1096 (2010).
- [18] C. Zhou, S. Biner, R. LeSar. Acta Mater. **58**, 1565 (2010).
- [19] S.H. Oh, M. Legros, D. Kiener, G. Dehm. Nature Mater. **8**, 95 (2009).
- [20] R. Maaß, S. Pedegem, D. Ma, J. Zimmermann, D. Grolimund, F. Robers, H. Van Swygenhoven, D. Raabe. Acta Mater. **57**, 5996 (2009).
- [21] D. Kiener, A.M. Minor. Acta Mater. **59**, 1328 (2011).